

# プラスチックの劣化機構と評価

繊維高分子材料研究所 渡辺 寧

## 1. はじめに

プラスチックの耐候性(Weatherability)という言葉は一般によく使われてゐる。しかし複合し、その変化の大きい自然環境下での長期間にわたる耐久性であるため、明確に定義され概念をもつことは必ずかしい。プラスチックの種々の特性は屋外に暴露されるにより変化するが、その変化の度合は特性によつて異なり、一律にその材料の耐候性を一つの特性から評価することは困難である。プラスチックが多くのがれで使用されるとともに、材料としての信頼性が要求され、その耐候性(寿命)は重要な特性となつてゐる。現在の暴露試験方法の問題と暴露試料の厚さ方向の劣化率の観察から材料の劣化について検討する。

## 2. 暴露試験方法規格

現在制定されてゐる試験方法をまとめると次のようになる。

### (1) 屋外暴露試験規格

JIS Z 2381	屋外暴露試験方法通則
JIS A 1410	プラスチック建築材料の屋外暴露試験
JIS A 1411	プラスチック建築材料のウエザリング評価方法
ASTM G 7	非金属材料の大気環境暴露試験
ASTM G 24	アンダーガラス天然暴露方法
ASTM D1435	プラスチックの屋外暴露
ISO 9607	プラスチックの屋外暴露方法
ISO 877	アンダーガラス暴露

### (2) 促進暴露試験規格

促進暴露試験は光源の種類により次のようにならに分類され、これらにについて規格が定められ、標準化されてゐる。これらはほとんどが試験装置の主要部分および操作法について規定されてゐる。

	JIS	ASTM	ISO
enclosed carbon arc lamp (紫外線カーボンアーカランプ)	JIS B 7751 JIS B 7752	ASTM G 25	ISO 4892
open-flame carbon arc lamp (サンシャイン カーボンアーカランプ)	JIS B 7753	ASTM G 23 ASTM D 1499	"
Xenon arc lamp	JIS B 7754	ASTM G 26 ASTM D 2565	"
Fluorescent lamp		ASTM G 53 ASTM D 1501	("")

これらの試験法における ISO 4892 では試料面での照射エネルギーを enclosed carbon arc lamp, 300~750 nm, 500 W/m<sup>2</sup> 以下; open-flame carbon arc lamp, 300~750 nm, 600 W/m<sup>2</sup> 以下; Xenon arc lamp, 300~890 nm, 1000 ± 200 W/m<sup>2</sup> と規定している。JIS ではこのような規定は入っていない。

### 3. 照射エネルギーをもつたる材料

#### (1) 着色メタアクリル樹脂<sup>1)</sup>

ポリメチルメタアクリレート = Solvent Yellow 33 を入射成形した試料である。この

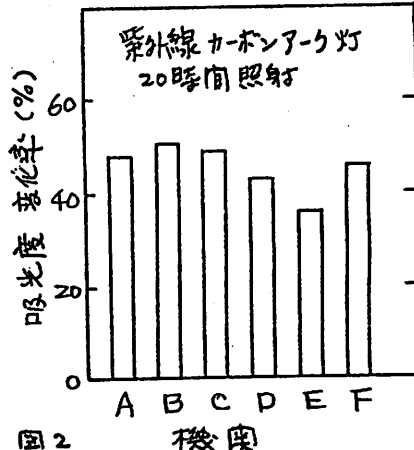
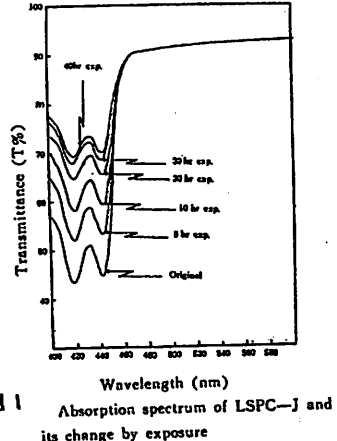
試料に光を照射する  
と図 1 に示すように  
光照射後の分光透過  
率曲線は変化する。

420 nm および 442 nm

に大きな吸収があり、

光照射によつて、この

が他の吸収も吸収波



長が変化するなどなく、吸収強度のみが変化する。したがって極大吸収波長 420 nm の透過率の変化をモニターフルードとしたり、照射エネルギー量のパラメーターとする二つが出来る。

図2は各研究機関に設置された113紫外線カーボンアーチ灯耐光試験機に於て、二の試料を20時間照射した後の420 nm の吸光度の変化率を示した。

### (2) ポリエチレンフィルム

ポリエチレンに紫外線が照射されると、酸化反応によりカルボニル基が生成される。カルボニルの生成量をIRの測定から定量することになり、その吸光度を照射エネルギーのパラメーターとすることが出来る。図3は0.2 mmのポリエチレンフィルムを異なる研究機関に設置されたサンシャインアーチ灯試験機<sup>サンド</sup>で20時間および40時間照射したときのカルボニルの吸光度比( $A_{1715 \text{ cm}^{-1}} / A_{2030 \text{ cm}^{-1}}$ )を示したものである。

### (3) ポリサルホンフィルム<sup>2)</sup>

ポリサルホンは320 nm以下の波長の光で反応する。320 nm以下の光が照射されると、紫外吸収スペクトル 305 nmにおける吸光度( $\Delta A_{305}$ )は照射時間とともに増加する。305 nmにおける吸光度の変化を測定することになり、照射された光のエネルギー量を求めることが出来る。このフィルムは-4°から53°Cの温度範囲で光を照射しても吸光度の変化は温度に与え影響を受けないことが認められ、照射エネルギーを光のエネルギーをポリマー・フィルムによって求められる。図4はキセノンの光源の強度低下を二のフィルムを用いて測定した結果である。

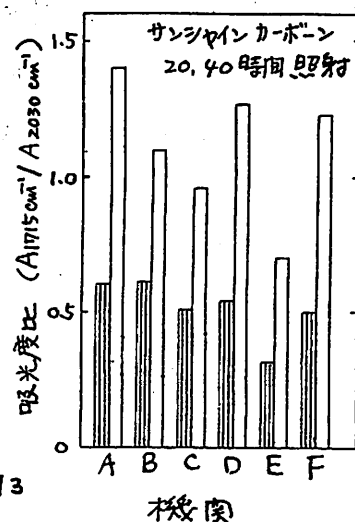


図3

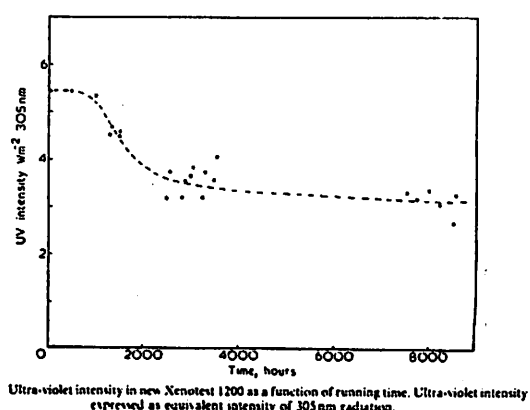


図4

#### 4. 暴露による試料の厚さ方向の劣化

試料の厚さがある程度以上あると、照射された光のエネルギーが試料の表面と内部では試料による吸収のため異なること、酸化反応に必要な酸素の試料内部への拡散が影響し、暴露試料の表面と内部では劣化の程度が異なると考えられる。

##### (1) PPフィルムの光照射によるIR(ATR法)の変化<sup>3)</sup>

図5はPPフィルムに40時間および70時間、光を照射したときの1715cm<sup>-1</sup>の吸光度の変化をIRのATR法により求めた結果である。透過法による結果と比較すると表面近くでのケトン生成量が多く、内部では急速に減少していくことがわかる。

##### (2) ポリエチレンシートの劣化<sup>4)</sup>

サンプラインカーボンアーケー型暴露装置<sup>5)</sup>で2000時間暴露した試料を表面から順次削り取り、試料内部の各深さ部分をKBr法により測定したIRスペクトルを図6に示す。生成したカルボニル基の量は表面ほど多くなることがわかる。生成カルボニル量を深さに対してプロットすると図7になる。二の図において直線の勾配は0.1mmぐらいうる深さで不連続になつてゐる。試料の表面近くと内部では酸化反応による酸化生成物の生成速度が異なり、表面近くの方が大きくなつてゐる。

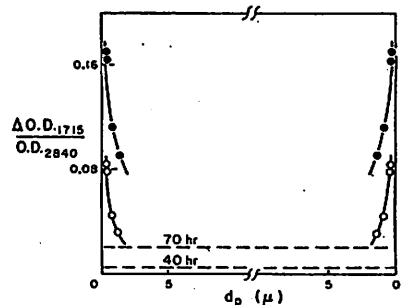


図5 Variation in ir absorption with depth of penetration; sample and irradiation conditions as in Figure 2;  $d_p$  values measured from each surface of the 22- $\mu$  film. Transmission values, ——; irradiation times O, 40 hr; ●, 70 hr.

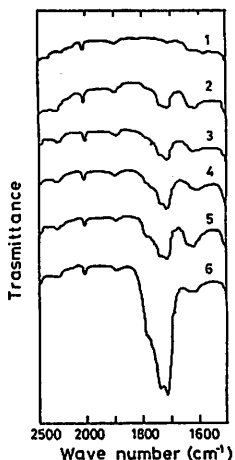


図6 IR absorption spectra of exposed polyethylene, (1) original and (2)-(6) 2000 h exposed. Depth: (2), 0.4—0.5; (3), 0.3—0.4; (4), 0.2—0.3; (5), 0.1—0.2; (6), 0—0.1 mm.

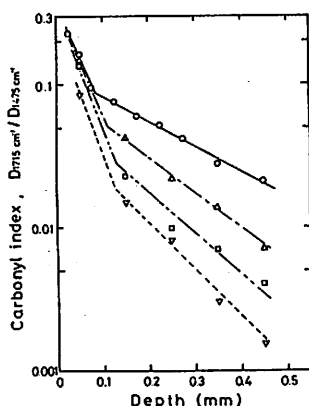


図7 Plot of carbonyl index against depth in exposed polyethylene sheet. Exposure time: ○, 2000; △, 1500; □, 1000; ▽, 500 h.

これは試料内部での酸化挙動は光のエネルギー強度の減衰のみに酸化速度が依存するのではなく、酸化反応に必要な酸素の試料内部への拡散も考慮すべきことを示してある。

### (3) 暴露 ABS の曲げ破断強度<sup>5)</sup>

屋外に暴露した厚さ 3mm の ABS の曲げ強度は図 8 に示すように、暴露時間の増加とともに徐々に低下する。暴露の初期での低下が大きい。未暴露試料では曲げ変形に対して完全な破断は起らぬが、暴露した試料では破断し、破断の様式が異なったものとなる。

このような暴露試料の表面を順次削り取り、その後の曲げ強度を測定すると、図 9 に示す。暴露試料の表面を削り取る厚さが少ない場合、表面を削り取っても曲げ強度はほとんど変化しない。更に削り取ると曲げ強度は急に大きくなり、その後の曲げ強度は未暴露試料の場合とほとんど同じ値になる。

ABS の強度などの特性値はポリブタジエン相の量に大きく影響を受けること、また光の照射などによつてこのポリブタジエン相がまず影響を受けることが示されてゐる。ABS のポリブタジエン相の割合は、赤外吸収スペクトルの  $1600\text{cm}^{-1}$  のステレンの吸収強度に対する  $970\text{cm}^{-1}$  のブタジエンの吸収強度の比から求められる。図 10 は屋外暴露した ABS の深さ方向に対する赤外吸収スペクトルの比、 $D_{970\text{cm}^{-1}}/D_{1600\text{cm}^{-1}}$  を示した。表面近くではポリブタジエン

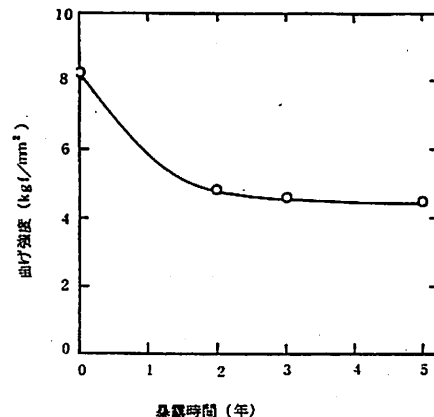


図 8 屋外暴露した ABS の曲げ強度と暴露年数との関係

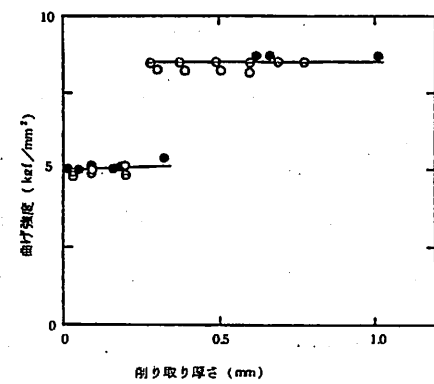


図 9 屋外暴露した ABS の表面を削り取った後の曲げ強度の変化  
暴露年数、(○)、2; (⊖), 3; (●), 5 年

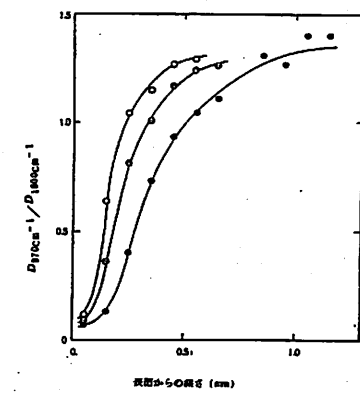


図 10 屋外暴露 ABS の各深さにおけるブタジエン/ステレン ( $D_{970\text{cm}^{-1}}/D_{1600\text{cm}^{-1}}$ ) の変化

が非常に少なくなつてあり、内部ほど増加し、未暴露試料と同じ位にはなつてゐる。

屋外暴露したABSの表面を削り取った後の曲げ強度を、その表面のブタジエン相の割合に対してもプロットすると図11となる。ブタジエン相の割合がある程度までは曲げ強度は小さく、ほとんど変化しない。それよりブタジエン相が多くなると曲げ強度は急激に大きくなり、未暴露試料の場合と同じになつてゐる。

#### (4) 暴露ポリスチレンの曲げ破断荷重<sup>5)</sup>

屋外に暴露したポリスチレンシートの曲げ強度は暴露期間の増加とともに減少する。その変化を図12に示す。曲げ強度は暴露の初期で急激に低下し、暴露時間が長くなると低下の度合は暴露初期と比較すると小さくなつてゐる。

暴露試料の表面から種々の厚さ削り取った後の曲げ強度を図13に示す。削り取る厚さが大きくなるほど曲げ強度は増加し、試料内部まで削り取ると未暴露試料同じ程度の曲げ強度となつてゐる。

暴露したポリスチレンの厚さ方向の劣化について分子量の変化から検討する。数平均分子量 ( $M_n$ ) の厚さ方向の変化を屋外暴露試料について図14に、図15には促進暴露試料についての結果を示す。暴露した試料の分子量は表面と内部では大きく異なり、表面に近いほど分子量は小さく、劣化が進んでゐる。内部では分子量の低下は少なく、劣化が進んでいないことがわかる。しかし内部でも未暴露試料の分子量  $M_n = 13.2 \times 10^4$

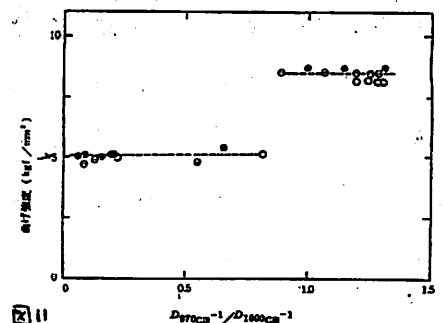


図11 屋外暴露したABSの表面のブタジエン相の割合と曲げ強度の関係  
暴露年数：(○) 2; (△) 3; (●) 5年

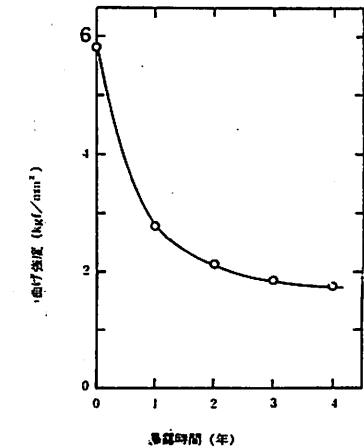


図12 屋外暴露したポリスチレンの曲げ強度と暴露年数との関係

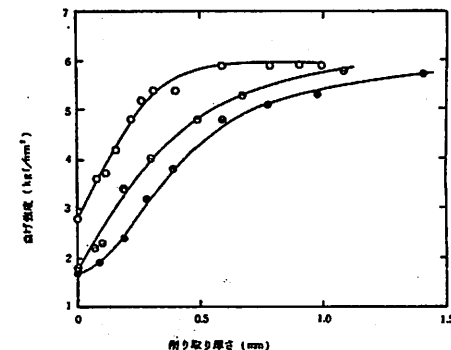


図13 屋外暴露したポリスチレンの表面を削り取った後の曲げ強度の変化  
暴露年数：(○) 1; (△) 3; (●) 4年

よりは小さくなつてゐる。

屋外と促進暴露を比較すると、試料の表面に照射された光の紫外部(280~400nm)のエネルギーは屋外の3年と促進暴露の1,000時間がほぼ同じであるが、屋外暴露の方が表面および内部とも分子量が小さくなつてゐる。また屋外暴露試料の方が表面が50.2mm程度までの暴露表面近くでの分子量低下が促進暴露試料に比較して大きくなつてゐることはわかる。暴露による分子量低下は照射された光エネルギー量が大きくなる影響をあらわしてゐるることはもうろんであるが、屋外暴露における他の因子、水分、光の照射と非照射の繰返しが分子量の低下、即ち劣化における影響の大きさをうかがふ。

暴露したポリスチレンの表面を削り取った後の曲げ強度をその表面の分子量に対しプロットすると図16になる。この図には屋外暴露試料、促進暴露試料および表面から順次削り取った後の曲げ強度を同時にプロットしてある。暴露方法、暴露期間、表面からの深さが異なつても、数平均分子量と曲げ強度との関係は同じ曲線上有る。このことは暴露によつて劣化したポリスチレンの曲げ強度は内部の劣化していない部分よりも、表面に存在する劣化部分の分子量によつて支配されることがわかる。

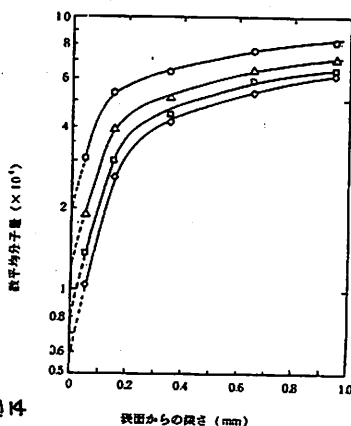


図14

屋外暴露したポリスチレンの深さ方向の数平均分子量の変化  
暴露年数、(○), 1; (△), 2;  
(□), 3; (◇), 4年

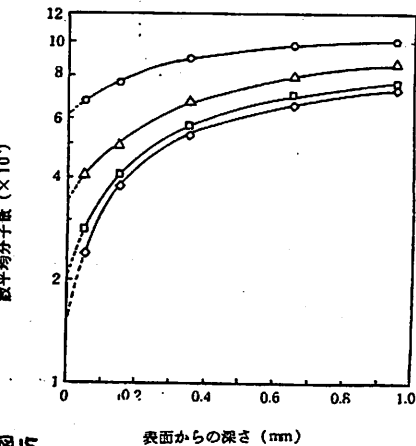


図15

紫外線カーボンアーク灯照射ポリ  
スチレンの深さ方向の数平均分子  
量の変化  
照射時間、(○), 500; (△),  
1000; (□), 1500; (◇),  
2000時間

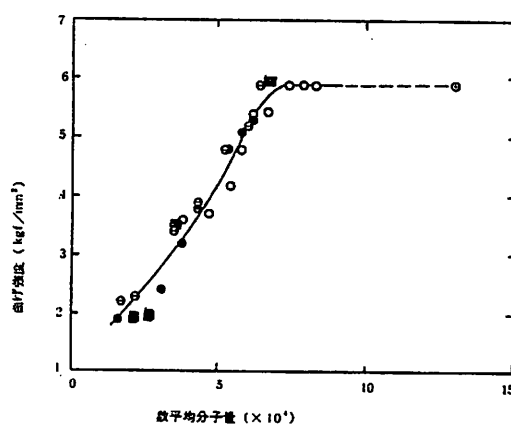


図16 暴露したポリスチレンの表面の分子量と曲げ強度  
○:屋外暴露, □:紫外線カーボンアーチ

## 5. まとめ

ポラスチックは暴露によって劣化するが、二の劣化挙動を試料の厚さ方向の劣化からみると、表面の劣化は大きく、厚さ3mm程度の試料では内部では劣化が非常に少ないがほどんど劣化していない。暴露により劣化した試料は二のように厚さ方向に異なった構造を持つものから構成されており、厚さ方向の構造変化が試料全体の力学的性質にどのように影響するかが重要なところである。

曲げ破断挙動をみると、暴露により表面に存在する劣化層が内部の劣化の少ない部分およびほとんど劣化していない部分にまで影響を及ぼしていることがわかる。二のことは暴露により表面に形成された劣化層が曲げ破断に対してノックとして働くことになり、そのため暴露試料の曲げ強度が急激に低下する結果となる。

## 参考文献

- 1) 吉川喜雄ほか, 繊高研研究報告, No.111, 69 (1976)
- 2) A.Davis et al, Polym. Degrad. and Stab., 9, 145 (1982)
- 3) D.J.Carlsson et al, Macromolecules, 9, 174 (1971)
- 4) 渡辺謙, 高分子論文集, 38, 535 (1981)
- 5) 渡辺謙, Polymer Preprint, Japan, 30, [6] 1080 (1981)